



اولین کنفرانس ملی حکرهای فیبر نوری - ۶ آبان ۱۴۰۰

ICOFS 2021

پژوهشکده لیزر و پلاسمای  
1<sup>st</sup> Iranian Conference on Optical Fiber Sensors  
October 28, 2021



## مدل سازی تشدیدگر بلور فوتونی چرخاننده قطبش روی عایق برای آشکارسازی غیر نشان دار DNA

محمد مهدی باباخانی فرد<sup>۱</sup>، احمد رضا دارائی<sup>۲\*</sup>، محمد قهرمانی مقدم<sup>۲</sup>، محمد اسماعیل زیبائی<sup>۱</sup>

<sup>۱</sup> پژوهشکده لیزر و پلاسمای دانشگاه شهید بهشتی، تهران، ایران.

<sup>۲</sup> گروه فیزیک، دانشکده علوم پایه، دانشگاه سیستان و بلوچستان، زاهدان، ایران.

**چکیده:** در این مقاله، ساختار یک زیست حسگر تشدیدگر بلور فوتونی مبتنی بر یک نانوباریکه چهار هسته ضربدری سیلیکون-سیلیکن نیتریدی بر روی عایق سیلیکا با هندسه دیوارهای باریک شونده بیضوی دارای پراشههای تناوبی هوا در طول ساختار، مدل سازی شده است. نتایج محاسباتی نشان دادند که ساختار با تشدید مد حسگری با فاکتور کیفیت بزرگ  $Q \approx 9827.8$  و محبوس سازی آن با حجم مدی بسیار کوچک  $V_{\text{mode}} = 0.001(\lambda_{\text{res}}/n_{\text{eff}})^3$  در ناحیه میکرو کاواک و ایجاد گاف نواری پهن 646.5 nm، می تواند برای آشکارسازی پارامترهای زیستی در طیف وسیعی از فرکانسها استفاده شود. این ساختار قادر است سطح بسیار کوچک  $\mu\text{m}^2$  0.0045 از محلول تحلیل شونده مولکولهای DNA را با حساسیت های سطحی و تشدیدی بسیار بزرگ بترتیب برابر با  $S_{\text{res}} \approx 340.6 \text{ nm/RIU}$  و  $S_{\text{sur}} \approx 0.0008 \text{ RIU/nm}$  آشکارسازی نماید.

**کلید واژگان:** بلور فوتونی؛ تشدیدگر نوری؛ حسگری غیر نشان دار؛ ضریب شکست.

## Modeling of a Polarization Rotator Photonic Crystal Resonator on Insulator for Label-Free DNA Detection

Mohammad-Mahdi Babakhani-Fard<sup>1</sup>, Ahmadreza Daraei<sup>2,\*</sup>, Mohammad Ghahremani Moghadam<sup>2</sup>, Mohammad Ismail Zibaii<sup>1</sup>

<sup>1</sup> Laser and Plasma Research Institute, Shahid Beheshti University, Tehran, Iran.

<sup>2</sup> Dept. of Physics, Faculty of Science, University of Sistan and Baluchestan, Zahedan, Iran.

**Abstract:** In this paper, a structure of photonic crystal resonator biosensor based upon a quad-core silicon-silicon nitride cross-beam on silica insulator with the elliptical geometry of tapered walls including periodic air grating along the entire structure is modeled. The computational results showed that the structure can be used to detect biological parameters in a wide range of frequencies by intensifying the sensing mode with a large quality factor  $Q \approx 9827.8$  and confining with a very small modal volume  $V_{\text{mode}} = 0.001(\lambda_{\text{res}}/n_{\text{eff}})^3$  in the microcavity area and creating a wide bandgap of 646.5 nm. This structure is capable of detecting a very small surface area of 0.0045  $\mu\text{m}^2$  from the analyzed solution of DNA molecules with very high surface and resonance Sensitivities equal to  $S_{\text{sur}} \approx 0.0008 \text{ RIU/nm}$  and  $S_{\text{res}} \approx 340.6 \text{ nm/RIU}$ , respectively.

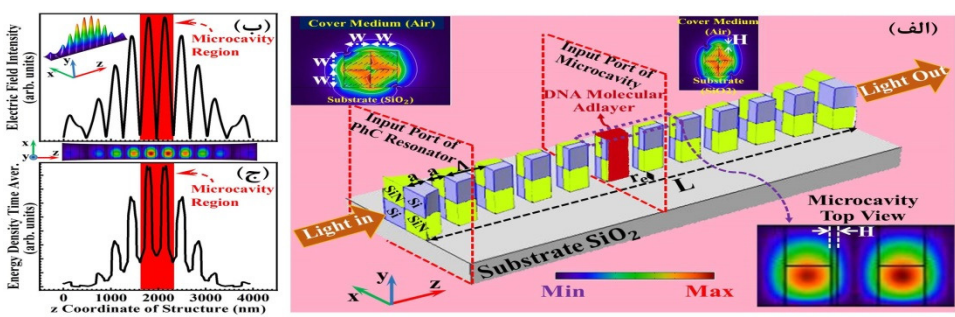
**Keywords:** Photonic Crystal; Optical Resonator; Label-Free Sensing; Refractive Index.

<sup>1</sup> babakhani.m@yahoo.com  
<sup>2,\*</sup> daraei@phys.usb.ac.ir

## ۱- مقدمه و معرفی

نانوباریکه‌های تشدیدگر بلور فوتونی بسبب ویژگی‌های منحصر‌فردی از قبیل تشدید و محبوس‌سازی مد نوری با فاکتور کیفیت  $Q$  بسیار بزرگ و حجم مدل  $V_{\text{mode}}$  بسیار کوچک در میکروکاواک و همچنین ابعاد بسیار کوچک آن‌ها، امکان یکپارچه‌سازی نوری بر روی تراشه آزمایشگاهی کوچک تحت اصطلاح آزمایشگاه بر روی تراشه را محقق ساخته است. این ساختارها قادرند به عنوان یک ادوه منفعل فوتونیکی، تحلیل‌شونده‌های زیستی، پزشکی، شیمیابی را با حساسیت بالا، بصورت غیرنشان‌دار در زمان واقعی آشکارسازی نمایند [۱-۳].

ساختار حسگر زیستی-پزشکی ارائه شده در این مقاله، مطابق طرح‌واره شکل ۱-الف، مبتنی بر یک نانوباریکه بلور فوتونی چهاره‌سته ضربدری سیلیکنی ( $n_{\text{Si}}=3.45$ ) و سیلیکون نیتریدی ( $n_{\text{SiN}}=2.36$ ) با روی عایق سیلیکا ( $n_{\text{SiO}_2}=1.44$ ) با دیواره‌های باریک‌شونده در مرکز با هندسه بیضوی به نیم قطر  $r_e$  می‌باشد که پراشه‌های هوا به پهنه‌ای  $a$  با دوره تناوب  $\Lambda=2a$  در طول آن ایجاد شده است. نمونه‌هایی از طرح‌واره میدان و نمودارهای مقطع برشی ساختار پیشنهادی، که از شبیه‌سازی با روش المان محدود (FEM) و با استفاده از نرم‌افزار COMSOL Multiphysics (Ver. 5.3a) بدست آمده‌اند، در شکل ۱-ب و ۱-ج نشان داده است.



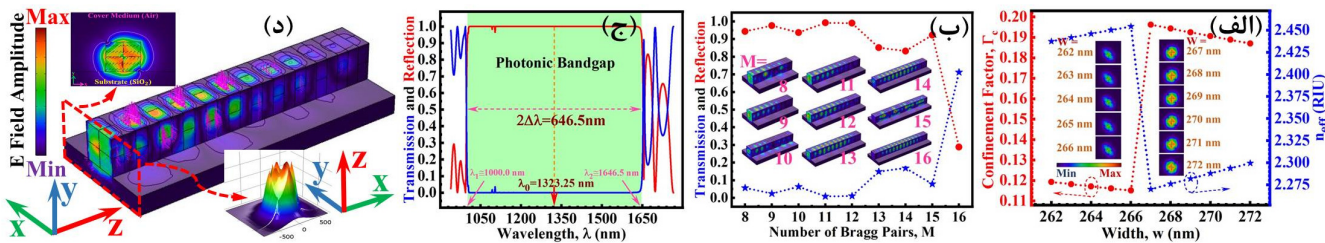
شکل ۱-الف) طرح‌واره ساختار نانوباریکه تشدیدگر چهاره‌سته ضربدری روی عایق با دیواره‌های باریک‌شونده، به منظور حسگری مولکول‌های DNA. ب) و ج) پروفیل و نمودارهای توزیع میدان الکتریکی و چگالی انرژی مد حسگری ساختار (با مؤلفه‌های بهینه‌شده (با  $w=267 \text{ nm}$ ,  $a=\Lambda/2=170.705 \text{ nm}$ ,  $L=12\Lambda$ ,  $r_e=45.99 \text{ nm}$ ).

## ۲- اصول، طراحی و بهینه‌سازی ساختار حسگر

مولکول‌های DNA ( $n_{\text{DNA}} \approx 1.414$ ) برهمنش نوری مناسبی در طول موج پنجه سوم مخابراتی داشته و زیرلایه سیلیکایی و نانوباریکه‌های Si و SiN به کار گرفته شده در ساختار پیشنهادی نیز جذب نوری بسیار ناچیزی در این ناحیه طیفی دارند. همچنین قطبش نوری TM، با تمرکز بخشیدن مد تشدیدی برآگ در پراشه‌های با ضربی شکست بیشتر در این ساختار، موجب می‌شود که گاف نواری بسیار پهنه‌ی در گستره طیفی حاصل گردد [۴]. از این‌رو، مد پایه  $\text{TM}_1$  با طول موج  $\lambda \approx 1550 \text{ nm}$  به عنوان مد حسگری انتخاب شده و مطابق نمودار شکل ۲-الف، پهنه‌ی  $w$  چهار باریکه ضربدری Si و SiN به گونه‌ای بهینه‌سازی شده است که ضربی محبوس شدگی مد میرا شونده حسگری  $\Gamma_c$ ، در پوشش هوای ساختار بیشینه شود. نتایج بهینه‌سازی، به ازاء پهنه‌های  $w=267 \text{ nm}$ ، بیشینه ضربی محبوس شدگی نوری  $\Gamma_c \approx 0.2$  را در پوشش هوای دارا است. لازم به توضیح است که به مقتضی شرط تشدید برآگ در منطقه اول بریلوئن، دوره تناوب پراشه‌های هوای ایجاد شده در ساختار بلور فوتونی پیشنهادی، با بهره‌گیری از رابطه ۱ به اندازه  $\Lambda=2a=341.41 \text{ nm}$  محاسبه شده است [۴].

$$\Lambda = \lambda_B / 2n \quad \& \quad n = (n_{\text{Si}} + n_{\text{SiN}} + n_{\text{Air}}) / 3 \quad \Rightarrow \quad \Lambda = 341.41 \text{ nm} \quad (1)$$

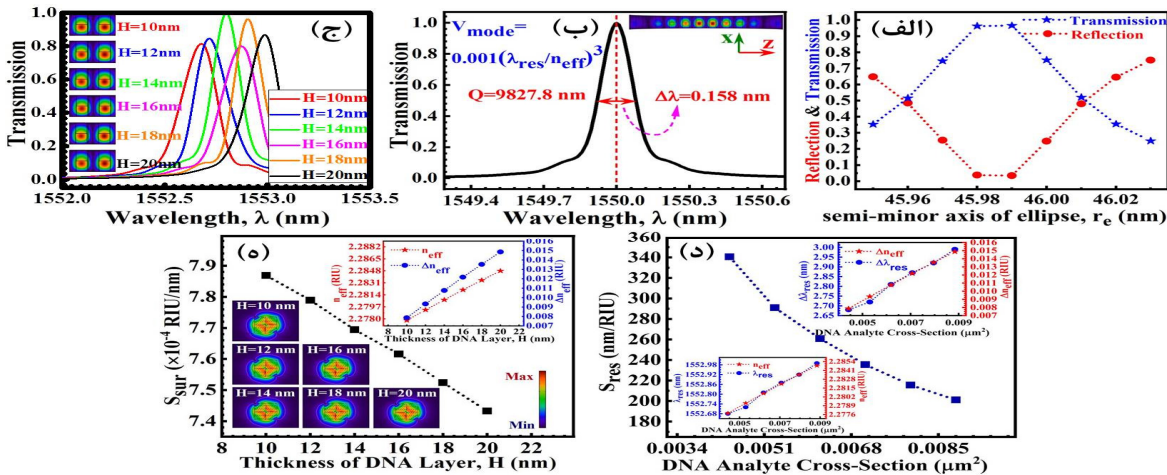
با استفاده از مؤلفه‌های بهینه  $w$  و  $\Lambda$ ، تعداد آینه‌های برآگ،  $M$ ، تشکیل‌دهنده باریکه بلور فوتونی به گونه‌ای بهینه‌سازی شده است که مد حسگری با توجه به نمودارهای عبور و بازتاب شکل ۲-ب و ۲-ج، به ازاء  $M=12$  آینه برآگ، دارای بیشینه بازتابندگی یک بوده و گاف نواری بسیار پهن  $2\Delta\lambda=646.5 \text{ nm}$  (با ذره  $1000-1646.5 \text{ nm}$ ) را شامل شده و مطابق پروفیل میدان شکل ۲-د، بردار میدان الکتریکی مد حسگری را پس از هر بار عبور از آینه‌های برآگ به گونه‌ای می‌چرخاند که مد میرا شونده نفوذ چندانی به زیرلایه سیلیکایی نداشته باشد.



شکل ۲- (الف) ضریب محبوس شدگی مد حسگری ( $\Gamma_c$ ) بر حسب پهنهای W مختلف چهار باریکه ضربدری، (ب) ضرایب عبور و بازتاب بر حسب تعداد M آینه برآگ، (ج) نوار توقف برای طول بهینه ساختار ( $L=12\Lambda$ ) و (د) پروفیل میدان E مد حسگری در ساختار (با مؤلفه‌های بهینه  $n_{eff}=2.375$ ,  $w=267$  nm,  $a=\Lambda/2=170.705$  nm).

### ۳- طراحی ساختار تشیدیدگر حسگری و سنجش حساسیت

برای تبدیل این بلور بهینه شده به یک تشیدیدگر با فاکتور نسبتی  $Q/V_{mode}$  خیلی بزرگ، دیواره‌های جانی این ساختار، به صورت بیضوی با نیم قطر کوچک  $r_e$  باریک شد. نتایج بهینه‌سازی شکل ۳- الف و ب نشان می‌دهد که این تشیدیدگر به ازاء مقدار  $r_e=45.99$  nm، مد حسگری را با فاکتور کیفیت بزرگ  $Q \approx 9827.8$  nm و حجم مدلی بسیار کوچک  $V_{mode}=0.001(\lambda_{res}/n_{eff})^3$  تشیدید می‌کند. لایه بسیار نازکی از مولکول‌های DNA به ضخامت H در پراشه هوا و جداره جانبی میکروکاواک ثبت شده است تا میزان جابه‌جای طول موج تشیدیدی  $\Delta\lambda_{res}$  نسبت به تغییر ضریب شکست مؤثر  $\Delta n_{eff}$  (برای حساسیت تشیدیدی  $S_{res}=\Delta\lambda_{res}/\Delta n_{eff}$ ) و همچنین میزان تغییر ضریب شکست مؤثر به ازاء تغییر ضخامت H آنالیت (برای حساسیت سطحی  $S_{sur}=\Delta n_{eff}/\Delta H$ ) محاسبه شود. نتایج بدست آمده مطابق شکل ۳ نشان می‌دهد که ساختار پیشنهادی قادر است سطح بسیار کوچک  $0.0045 \mu\text{m}^2$  از آنالیت مولکول‌های DNA را با حساسیت‌های سطحی و تشیدیدی بسیار بزرگ بترتیب  $S_{res} \approx 340.6$  nm/RIU و  $S_{sur} \approx 0.0008$  RIU/nm می‌نماید. در جمع‌بندی، ساختار طراحی شده تشیدیدگر بلور فوتونی چهار هسته ضربدری بر روی عایق، با تنظیم هندسه دیواره‌ها و لایه‌های مت蟠کله می‌تواند با کنترل قطبش میدان و با محبوس سازی بهتر مدد در پوشش و پراشه‌های هوای ساختار، زمینه بسیار مناسبی را جهت حسگری زیستی-پزشکی فراهم آورد.



شکل ۳- (الف) ضرایب بازتاب و عبور مد حسگری بر ازاء تیم قطرهای کوچک  $r_e$  باریک‌شوندگی بیضوی دیواره ساختار، (ب) سیگنال حسگری، (ج) جابه‌جای طول موج سیگنال حسگری بر حسب ضخامت H مختلف لایه DNA. (د) حساسیت‌های تشیدیدی  $S_{res}$  و (ه) سطحی  $S_{sur}$  ساختار به سطوح و ضخامت‌های H مختلف آنالیت DNA.

### مراجع

- Mohammad-Mahdi Babakhani-Fard et. al. *The European Physical Journal Plus* 135(3), 1-13, 2020.
- Ahmadreza Daraei et. al. *Applied Physics A* 122(7), 1-6, 2016.
- Mohammad Ismail Zibaii et. al. In *25th Optical Fiber Sensors Conference (OFS)*, 1-4, IEEE, South Korea, 2017.
- B. E. A. Saleh, M. C. Teich, *Fundamentals of Photonics*, John Wiley & Sons, Ch. 7, (2019).